

mPEG修饰淋巴细胞 HLA-A₂ 抗原的研究

张印则¹李伟²周华友¹单小燕²兰炯采¹章扬培³袁长志新²渊第一军医大学南方医院输血科袁广东广州 510515由北京红十字血液中心袁北京 100088由军事医学科学院野战输血研究所袁北京 100850冤

摘要 目的 用甲氧基 - 聚乙二醇修饰淋巴细胞表面 HLA-A₂ 抗原阻断它与相应抗体的特异性结合。方法 在不同温度及不同 pH 的磷酸缓冲液中分别使用终浓度为 12mmol/L 不同种类的 mPEG 对淋巴细胞表面 HLA-A₂ 抗原进行修饰。结果 4℃ 及室温对淋巴细胞表面 HLA-A₂ 抗原修饰效果无明显影响，而 0℃ 及 37℃ 条件下不利于修饰。高浓度 mPEG 在碱性环境中对 HLA-A₂ 抗原的修饰效果较好，且不同 mPEG 对修饰效果亦有影响。结论 室温下在 pH 7.4 的 PBS 介质中 mPEG-BTC 对淋巴细胞表面 HLA-A₂ 抗原的修饰效果最好，其次为 mPEG-丙酸 - 琥珀酰亚胺 -PEG- 马来酰亚胺无修饰能力。

关键词 淋巴细胞; 甲氧基 - 聚乙二醇; 化学修饰; HLA-A₂ 抗原

中图分类号 R392.11 文献标识码 A 文章编号 1000-2588(2003)06-0557-04

Methoxypolyethylene glycol-modified HLA-A₂ antigen on lymphocytes

ZHANGYin-ze¹, LIWei², ZHOUHua-you¹, SHANXiao-yan², LANJiong-cai¹, ZHANGYang-pei³, ZHANGZi-xin²

¹Department of Blood Transfusion, First Military Medical University, Guangzhou 510515, China; ² Beijing Red-Cross Blood Center, Beijing 100088, China; ³ Academy of Military Medical Sciences, Beijing 100850, China

Abstract: Objective To modify the HLA-A₂ antigen on the lymphocytes with methoxypolyethylene glycol (mPEG) so as to block the specific binding site for antibody. Method Different types of mPEG (all with final concentration of 12 mmol/L) were used at different temperatures in PBS with varied pH values for the modification of the HLA-A₂ antigen. Result The modification of the antigen was not obviously affected when it was carried out at 4℃ or room temperature, but higher temperatures of 30 and 37℃ significantly hampered the modification. Better antigen modification was observed with high-concentration mPEG in basic PBS, depending also on the type of mPEGs used for this purpose. Conclusion The specific HLA-A₂ binding on the lymphocytes is completely blocked by benzotriazole-carbonate-mPEG (mPEG-BTC), which is superior to N-hydroxysuccinimidyl ester of mPEG (mPEG-SPA). Maleimide-mPEG (mPEG-MAL) is incapable of blocking the HLA-A₂ ligand-binding site with antibody.

Key words: lymphocyte; methoxypolyethylene glycol; camouflage; HLA-A₂ antigen

淋巴细胞表面表达有丰富的 HLA 抗原，在免疫应答中起着重要作用。HLA-Ⅰ类抗原属移植抗原袁影响造血干细胞的存活。采用甲氧基 - 聚乙二醇修饰淋巴细胞表面的 HLA-Ⅰ类抗原进行化学修饰可以阻断其与相应 HLA-Ⅰ类抗体的反应，有助于干细胞的移植成功。

1 材料与方法

1.1 试剂

相对分子质量为 5000 的甲氧基 - 聚乙二醇 - 苯丙三唑碳酸盐、mPEG-BTC、mPEG-SPA、mPEG-MAL 均购于美国 Shearwater 公司。

收稿日期 2003-02-19

基金项目 国家高技术发展规划 863 项目

Supported by National "863" Program for High-tech Development

作者简介 张印则 袁男 袁河北张家口人 袁000 年毕业于河北医科大学 袁读博士 袁主管检验师 袁电话 20-61365698 袁 E-mail: zyz200157@sohu.com

1.2 血清

HLA-A₂ 单价抗血清 购自北京红十字血液中心 HLA 实验室提供，经标准细胞鉴定。

1.3 方法

1.3.1 HLA-A₂ 淋巴细胞悬液的制备 随机选取 104 例无偿献血者筛选出 HLA-A₂ 阳性供者 53 例。采其静脉血 10ml，用淋巴细胞分离液 BD 生物技术公司提供，离心取淋巴细胞，用 HEPES/RPMI1640 液 1% 的人白蛋白洗涤 3 次，调细胞浓度至 2×10⁶/ml 左右。

1.3.2 HLA-A₂ 抗原的化学修饰工艺 分别使用 mPEG-BTC、mPEG-SPA、mPEG-MAL，并分别在不同 pH 的 PBS 中（pH=7.4、8.0、9.0）不同温度（4℃、22℃、25℃、30℃、37℃）条件下用终浓度为 12mmol/L 的 mPEG 对淋巴细胞表面 HLA-A₂ 抗原进行修饰。修饰后的淋巴细胞用 HEPES/RPMI1640 液 1% 的人白蛋白洗涤 2 次，调细胞浓度到 2×10⁶/ml 左右。

1.3.3 微量混合淋巴细胞毒试验 使用 HLA-A₂ 单价

抗血清对经 mPEG 处理后的 HLA-A₂ 抗原阳性淋巴细胞进行微量混合淋巴细胞毒试验袁同时设阴性对照组在倒置相差显微镜下观察结果采用积分制观察 mPEG 对抗原抗体反应的阻断能力^增得 0~2 分为完全阻断^增 4 分为部分阻断^增 6~8 分为无阻断^增 1.3.4 SDS-PAGE 电泳 对处理前后的淋巴细胞进行 SDS- 聚丙烯酰胺凝胶电泳^增 观察不同 mPEG 对淋巴细胞的修饰能力^增

1.4 统计学处理

采用 Z 检验对数据进行分析^增

2 结果

2.1 不同 mPEG 对淋巴细胞的化学修饰

在 pH=8.0^增=22 益条件下袁不同 mPEG 对淋巴细胞的化学修饰能力不同^增 mPEG-BTC 的化学修饰能力最强袁可以完全阻断 HLA-A₂ 抗原与 HLA-A₂ 单价抗血清的特异性结合^增<0.001^增 其次为 mPEG-SPA 袁基本可以阻断 HLA-A₂ 抗原与 HLA-A₂ 单价抗血清的结合^增<0.001^增 mPEG-MAL 对 HLA-A₂ 抗原与 HLA-A₂ 单价抗血清无阻断作用^增>0.05^增 结果见表 1^增

表 1 不同 mPEG 修饰淋巴细胞后对 HLA-A₂ 抗原和 HLA-A₂ 抗体反应的阻断效果^增n=53

Tab.1 Block effect on the specific binding of HLA-A₂ antigen modified with different mPEGS to HLA-A₂ antibody(n=53)

EB	NC	PC	mPEG-BTC	mPEG-SPA	mPEG-MAL
Block	53	0	53	43	0
Blockpartly	0	0	0	10	2
Noblock	0	53	0	0	51

mPEG: Methoxypolyethylene glycol; EB: Block effect; NC: Negative control; PC: Positive control

2.2 不同 pH 对 mPEG 化学修饰的影响

T=22 益时 袁 不 同 pH 游H=7.4^增0.0^增 对 mPEG-BTC 修饰淋巴细胞的能力无影响^增 mPEG-BTC 可阻断抗原与抗体的特异性结合^增<0.001^增 mPEG-MAL 在这三种不同 pH 条件下没有阻断抗原与抗体结合的能力^增<0.001^增 pH 的变化对 mPEG-SPA 影响较大袁在 pH=7.4 时^增 mPEG-SPA 失去对 HLA-A₂ 抗原的修饰能力袁但在 pH=8.0^增 0.0 时对 HLA-A₂ 抗原的修饰能力无影响^增<0.001^增 结果见表 2^增

表 2 不同 pH 条件下经不同 mPEG 修饰的淋巴细胞对 HLA-A₂ 抗原和 HLA-A₂ 抗体反应的阻断效果^增n=53

Tab.2 Block effect on the binding of HLA-A₂ antigen to the antibody in PBS with different pH values (n=53)

EB	NC	PC	pH=7.4			pH=8.0			pH=9.0		
			BTC	SPA	MAL	BTC	SPA	MAL	BTC	SPA	MAL
Block	53	0	53	0	0	53	42	0	53	46	0
Blockpartly	0	0	0	0	0	0	11	2	0	6	2
Noblock	0	53	0	53	53	0	0	51	0	1	51

BTC:mPEG-BTC(benzotriazolecarbonate); SPA:mPEG-SPA(N-hydroxysuccinimidylester); MAL:mPEG-MAL(maleimide)

2.3 不同温度对 mPEG 化学修饰的影响

pH=8.0 时 温度从 4 益至 25 益对 mPEG 的化学修饰能力基本无影响^增>0.05^增 当温度升到 30 益时袁

会降低 mPEG 对淋巴细胞的修饰能力^增 当温度升到 37 益时 mPEG 基本失去了对淋巴细胞表面 HLA-A₂ 抗原的修饰能力^增<0.001^增 结果见表 3^增

表 3 不同温度条件下经不同 mPEG 修饰的淋巴细胞对 HLA-A₂ 抗原和 HLA-A₂ 抗体反应的阻断效果^增n=53

Tab.3 Block effect on the binding of HLA-A₂ antigen modified with different mPEGS to HLA-A₂ antibody under different temperatures(n=53)

EB	NC	PC	T=4 益			T=22 益			T=25 益			T=30 益			T=37 益		
			BTC	SPA	MAL	BTC	SPA	MAL	BTC	SPA	MAL	BTC	SPA	MAL	BTC	SPA	MAL
Block	53	0	53	0	0	53	43	0	53	46	0	14	0	0	0	0	0
Blockpartly	0	0	0	0	0	0	10	2	0	6	2	21	6	0	11	0	0
Noblock	0	53	0	53	53	0	0	51	0	1	51	18	47	53	42	53	53

BTC:mPEG-BTC; SPA:mPEG-SPA; MAL:mPEG-MAL

2.4 不同浓度对 mPEG 化学修饰的影响

12 mmol/L^增 0 mg/ml^增 的 mPEG-BTC 或 mPEG-SPA 可以阻断淋巴细胞表面 HAL-A2 抗原与其抗体的反应袁低于此浓度则无阻断效果^增

mPEG-MAL 在此浓度下无阻断能力^增

2.5 最佳修饰条件

综合以上多种影响因素袁采用正交试验选择最佳修饰条件^增 室温下袁在 pH 7.4 的 PBS 介质中使用

12 mmol/L 的 mPEG-BTC 对淋巴细胞表面 HLA-A₂ 抗原化学修饰效果最好。

2.5 SDS-PAGE 结果

三种不同的 mPEG 对淋巴细胞均有较强的修饰能力。见图 1。

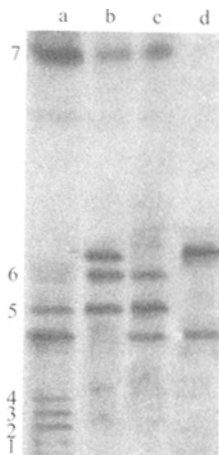


图 1 SDS-PAGE 结果

Fig.1 Result of SDS-PAGE

Lane a: HLA-A₂ on lymphocytes modified by mPEG-MAL;
Lane b: HLA-A₂ on lymphocytes modified by mPEG-SPA;
Lane c: HLA-A₂ on lymphocytes modified by mPEG-BTC;
Lane d: Control (lymphocytes); Bands 1-7 were generated by the modification of the lymphocytes with different mPEGS

3 讨论

PEG 及其衍生物是高分子化学材料。有许多优良的化学特性。无免疫原性、毒性低，并且可以将许多优良性质赋予修饰后的生物分子。FDA 已批准 PEG 作为化学辅料用于人体。PEG 已成功地用于修饰红细胞。阻断 ABO 抗原与 ABO 抗血清的特异性结合。通过 mPEG 修饰 T 淋巴细胞也取得一定效果。可以不同程度地降低 CD 分子的表达。但尚未见阻断 HLA 抗原与其相应抗体间特异性免疫反应的报道。本研究选择 HLA-A₂ 抗原作为观察指标。HLA-A₂ 抗原是 A 座位最常见的抗原。在汉族人中的基因频率为 0.30。发现采用适当的修饰工艺可以完全阻断淋巴细胞的免疫应答。

从以上数据可以看出，在室温条件下，mPEG-BTC 在 pH 7.4~9.0 范围内对淋巴细胞表面 HLA-A₂ 抗原均有理想的修饰效果。而 mPEG-SPA 在 pH 7.4 的环境下无修饰淋巴细胞表面 HLA-A₂ 抗原的能力。但在 pH 8.0~9.0 范围内，mPEG-SPA 可以对淋巴细胞表面 HLA-A₂ 抗原进行充分修饰。无论在那种条件下，都不具有对淋巴细胞表面 HLA-A₂ 抗原修饰的能力。对淋巴细胞进行化学修饰的体外环境应尽量接近人体正常的内环境。故选择 pH 7.4 作为对淋巴细胞进行体外修饰的条件。

从图 1 中可以看出，三种 mPEG 对淋巴细胞均有较强的化学修饰能力。mPEG 对蛋白质的化学修饰能力可以通过 SDS-PAGE 电泳条带来判断。电泳条带越多颜色越深，则表明 mPEG 的化学修饰能力越强。mPEG-BTC 与 mPEG-SPA 的电泳条带结构相同。对照组多出同样的 3 条带。说明两者有较为相似的化学修饰能力。这与表 1 的结果相吻合。电泳结果显示，mPEG-MAL 对淋巴细胞的化学修饰能力最强。对照组多出 6 条带。可是却无法阻断 HLA-A₂ 抗原与 HLA-A₂ 抗体间的特异性免疫反应。这一结果的出现是由于不同 mPEG 与蛋白质上的不同氨基酸结合而引起的。mPEG-BTC 可高效修饰多肽和蛋白质上的不同氨基酸，形成稳定的胺酯键。mPEG-SPA 修饰的氨基酸是多肽链上的赖氨酸，并能与之形成稳定的氨基化合物。mPEG-MAL 则与前两者不同。它具有高度特异性，只与含硫氨基酸即只与 HS-R 反应。它的结合部位是半胱氨酸。由此可以看出，对不同氨基酸的修饰效果要比修饰某一个具体氨基酸的效果好。

参考文献院

- 1 Kupfer A, Singer SJ. Cell biology of cytotoxic and helper T-cell function [J]. Annu Rev Immunol, 1993, 7:309.
- 2 Ringden O, Labbopin M, Bacigalupo A, et al. Transplantation of peripheral blood stem cells as compared with bone marrow from HLA-I identical siblings in adult patients with acute myeloid leukemia and acute lymphoblastic leukemia [J]. Clin Oncol, 2002, 20(24):4655-64.
- 3 赵桐茂. HLA 分析原理和应用 [M]. 上海科学技术出版社, 1984. 279-80.
- 4 奥斯伯, RE 金斯顿, JG 塞德曼, 等. 颜子颖译. 精编分子生物学实验指南 [M]. 北京: 科学出版社, 1998. 334-8.
- 5 姜忠义, 许松伟, 高蓉. 生物分子化学修饰用聚乙二醇衍生物的合成及应用 [J]. 高分子通报, 2002, 12(1):34-40.
- 6 Jiang ZY, Xu SW, Gao R. Synthesis and application of polyethylene glycol derivatives for the chemical modification of biomolecules [J]. Polymer Bull, 2002, 12(1):34-40.
- 7 章扬培, 杨军, 季守平, 等. 血型转变 [J]. 现代科学仪器, 2000, 10(1):8-11.
- 8 Zhang YP, Yang J, Ji SP, et al. Blood conversion [J]. Mod Sci Instr, 2000, 10(1):8-11.
- 9 Murad KL, Mahany KL, Brugnara C, et al. Structural and functional consequences of antigenic modulation of red blood cell with methoxypoly(ethyleneglycol) [J]. Blood, 1999, 93(6):2121-7.
- 10 Sabolovic D, Sestier C, Perrotin P, et al. Covalent binding of polyethyleneglycol to the surface of red blood cells as detected and followed up by cellulose electrophoresis and rheological methods [J]. Electrophoresis, 2000, 21(2):301-6.
- 11 Leach JK, Hinman A, O'Rear EA. Investigation of deformability, viscosity, and aggregation of mPEG-modified erythrocytes [J]. Biomed Sci Instrum, 2002, 38(3):333-8.

- 咱1¹暂MuradKL,GosselinEJ,EatonJW, et al.Stealthcells: prevention of major histocompatibility complex class II-mediated T-cell activation by cell surface modification咱1¹暂Blood 1999,94(6):2135-41.
- 咱1¹暂Scott MD, Murad KL. Cellular camouflage: fooling the immune system with polymers咱1¹暂Curr Pharm Des, 1998,4(6):423-38.
- 咱2¹暂Oshima M, Atassi MZ. T cells of mice treated with mPEG-myasthenic peptide conjugate are involved in protection against EAMG by stimulating lower pathogenic antibody responses咱1¹暂Autoimmu-

- 1¹暂MuradKL.Camouflaging endothelial cells: does it prolong graft survival咱1¹暂Biochem Biophys Acta 1999,1428:177-90.
- 咱4¹暂赵桐贸. 人类血型遗传学咱1¹暂北京: 科学出版社, 1987. 139.
- 咱5¹暂Scott MD, Murad KL, Koumpouras F, et al.Chemical camouflage of antigenic determinants: stealth erythrocytes咱1¹暂 Proc Natl Acad Sci USA, 1997,94(14):7566-71.

责任编辑 阮锦雅

表面麻醉下月形隧道刀行小梁切除术治疗青光眼 1 例报道

王克华¹长春华²王光洁¹解放军第 106 医院眼科¹山东 济南 250022

摘要 目的 探讨改良青光眼小梁切除术方法。应用表面麻醉联合月形隧道刀制作巩膜瓣¹对 41 例 48 眼青光眼患者施行小梁切除术¹。结果 麻醉成功率 100%¹，每眼术程平均 17 min¹，较既往常规手术缩短 37%¹。术后眼压控制均获满意效果¹。术后并发症¹。结论 表面麻醉下应用月形隧道刀可以安全、快速、有效地完成小梁切除术¹。

关键词 青光眼¹ 小梁切除术¹ 隧道刀¹ 表面麻醉¹

中图分类号¹ 775.461.1 文献标识码¹ A 文章编号¹ 000-2588(2003)06-0560-02

Trabeculectomy with crescent tunnel knife under surface anesthesia for glaucoma: report of 41 cases
WANGKe-hua,ZHANGChun-hua,WANGGuang-jie

Department of Ophthalmology, 106 Hospital of PLA, Jinan 250022, China

Abstract: This study aims to modify the surgical procedure of conventional trabeculectomy for glaucoma by incorporating scleral flap preparation with crescent tunnel knife under surface anesthesia. A total of 41 patients (48 eyes) received this modified surgical procedure, with the anesthesia being successfully implemented in all the cases. The time consumption by the operation on each eye averaged 17 min, shortened by 37% compared with the conventional procedure. The postoperative intraocular pressure was well under control without any complications arising either during or after the operation, showing the safety, rapidness and efficacy of this surgical approach in the treatment of glaucoma.

Key words: glaucoma; trabeculectomy; tunnel knife; surface anesthesia

小梁切除术是目前临幊上治疗青光眼的首选术式¹。传统手术步骤繁杂¹，术程较长¹，周麻¹醉具有一定的并发症¹。我们借鉴表面麻醉下作小切口白内障手术的经验¹，自 2000 年以来对 41 例 48 眼青光眼应用表面麻醉下月形隧道刀制作巩膜瓣施行小梁切除术¹，效果满意¹，报告如下¹。

1 临床资料

1.1 一般资料

本组共 41 例 48 眼¹，年龄 21~69 岁¹，平均 49.23 岁¹。术前眼压 25.81~63.96 mmHg¹，平均 38.26 mmHg¹。术前视力 0~1.2¹。病例构成见表 1¹。

收稿日期¹ 2003-03-14

作者简介¹ 王克华¹，男，苏海安人，袁994 年第二军医大学硕士研究生课程班结业，袁主治医师，袁电话¹ 531-2176845，袁-mail： wkh_kk@163.com

表 1 青光眼病例诊断构成

Tab.1 General data of the glaucomacases enrolled in thisstudy

Case classification	Number of cases	Eyes	Gender	
			Male	Female
Primary glaucoma				
Acute glaucoma	20	20	8	12
Chronic angle glaucoma	9	10	3	6
Open-angle glaucoma	8	11	4	3
Congenital glaucoma				
Juvenile glaucoma	3	5	3	0
Secondary glaucoma				
Corticosteroid glaucoma	1	2	1	0

1.2 药品及器械

表面麻醉采用日本参天制药株式会社生产的 0.4% 倍诺喜滴眼液¹，盐酸奥布卡因滴眼液¹，YZ7A 眼压计为苏州医疗器械总厂生产¹，手术刀为爱尔康¹，中国¹眼科产品有限公司生产的月形刀¹，3 mm¹ 和角